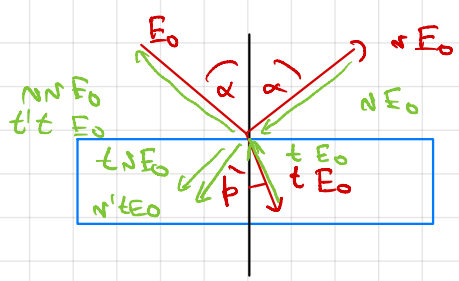


6.3 Vielstahlinterferenz



Wir verwenden n und t

wie in Kapitel zur Grenzfläche

Wir verwenden die Extinktionsinvarianz

Auch die Situation der rückwärts laufenden Strahlen
besitzen die Maxwell-Gleichungen mit den selben
Koeffizienten n und t .

Die beiden Situationen sind nicht unterschiedlich bezüglich
der Richtung der Gleichung.

$$\Rightarrow t(\alpha) n(\omega) E_0 + n'(\beta) t(\alpha) F_0 = 0$$

$$E_0 = n(\omega) n(\omega) E_0 + t'(\beta) t(\alpha) F_0$$

mit Reflektions- und Transmissionseffekten des E -Vektors
für den Eintritt / Reflexion in / aus dem
optisch dichten Medium

n', t' analog für den Austritt / Reflexion
an optisch dünneren Medium

$$t(\alpha) t'(\beta) = 1 - n^2(\alpha)$$

$$n'(\beta) = -n(\alpha)$$

Stokes-Delambre

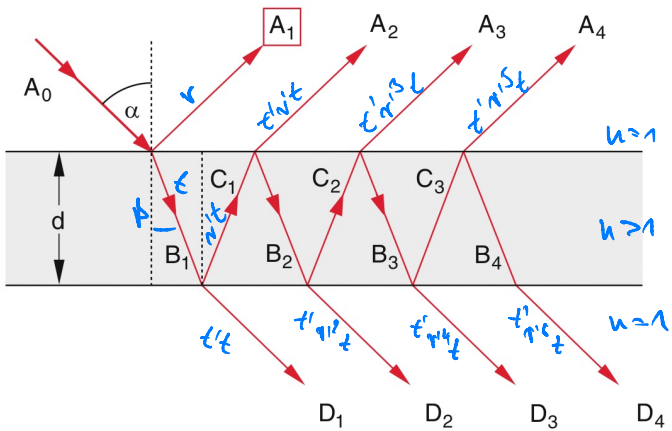


Abbildung 10.20 Vielstrahlinterferenz an zwei planparallelen Grenzflächen mit dem Reflexionsvermögen R und dem Abstand d

Achsenabstand

Für die Amplitude der reflektierten Welle

$$E_R = E_{R1} + E_{R2} + E_{R3} + \dots$$

$$= nE_0 + t'^n t E_0 e^{i\Delta q} + t'^{n+1} t E_0 e^{2i\Delta q} + \dots$$

$$= nE_0 + t'^n t E_0 e^{i\Delta q} + t'^{n+1} t E_0 e^{2i\Delta q} + \dots$$

$$= E_0 \left(n + n' t t' e^{i\Delta q} \left[1 + n^2 e^{i\Delta q} + (n^2 e^{i\Delta q})^2 + \dots \right] \right)$$

gesuchte Welle $|n^2 e^{i\Delta q}| < 1$

$$= E_0 \left(\frac{n + n' t t' e^{i\Delta q}}{1 - n^2 e^{i\Delta q}} \right)$$

$$\text{Stokes} \quad t t' = 1 - n^2, \quad n' = -n$$

$$= E_0 \left(\frac{n + \frac{(-n)(1-n^2) e^{i\Delta q}}{1 - n^2 e^{i\Delta q}}}{1 - n^2 e^{i\Delta q}} \right)$$

$$= E_0 \frac{n(1 - e^{i\Delta q})}{1 - n^2 e^{i\Delta q}}$$

Intensität

$$I_R = \frac{1}{2} \epsilon_0 E_0 E_0^* = I_0 R$$

$$\frac{2 - 2 \cos \Delta\varphi}{1 + R^2 - 2R \cos \Delta\varphi}$$

$$R = r^2$$

$$1 - \cos x = 2 \sin^2(x/2)$$

$$I_R = I_0$$

$$\frac{4R \sin^2(\Delta\varphi/2)}{(1-R^2) + 4R \sin^2(\Delta\varphi/2)}$$

Analog für

$$I_T = I_0 \frac{(1-R)^2}{(1-R^2) + 4R \sin^2(\Delta\varphi/2)}$$

$$I_R + I_T = I_0$$

Finesse

$$F = \frac{4R}{(1-R)^2}$$

$$I_R = I_0$$

$$\frac{F \sin^2(\Delta\varphi/2)}{1 + F \sin^2(\Delta\varphi/2)}$$

$$I_T = I_0$$

$$\frac{1}{1 + F \sin^2(\Delta\varphi/2)}$$

Airy
Formel

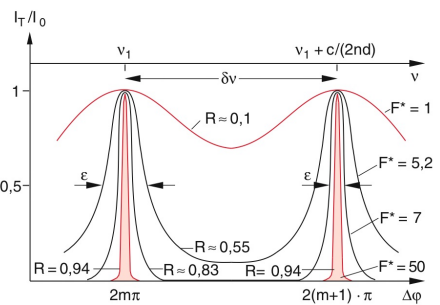
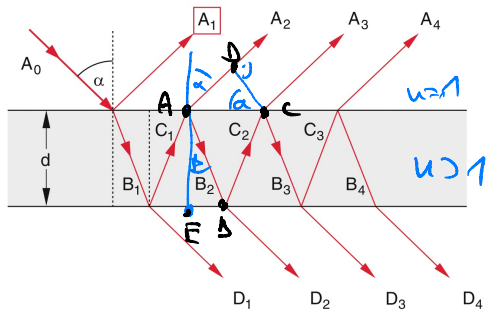


Abbildung 10.22 Transmission $T = I_T/I_0$ einer planparallelen Platte bei senkrechtem Lichteinfall als Funktion der Phasendifferenz $\Delta\varphi$ für verschiedene Werte des Reflexionsvermögens R . Zur Definition der Finesse F^* siehe (10.30)



$$\text{optischweg differenz } \Delta S = n(\bar{AO} + \bar{OC}) - \bar{AD}$$

$$\bar{AO} = \bar{OC} = d / \cos \beta$$

$$\bar{AO} = \bar{AC} \sin \alpha$$

$$\bar{AC} \cdot 2\bar{EB} = 2d \tan \beta$$

$$\Delta S = \frac{2nd}{\cos \beta} - 2d \tan \beta \sin \alpha$$

$$\sin \alpha = \sin \beta$$

$$\Delta S = \frac{2nd}{\cos \beta} - \frac{2nd \sin^2 \beta}{\cos \beta} = 2nd \cos \beta$$

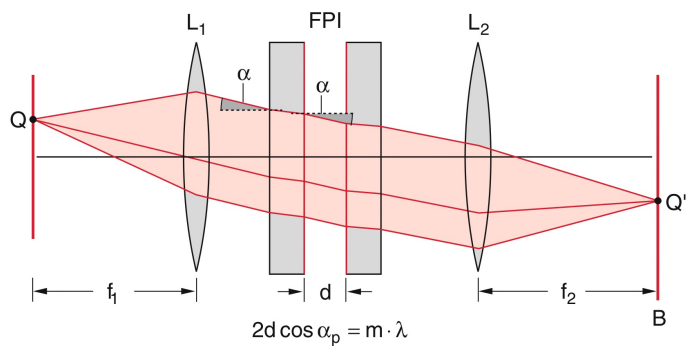
$$= 2d \sqrt{n^2 - \sin^2 \alpha}$$

$$\Delta q = \frac{\pi n}{2} \Delta S$$

Experiment 1 : Vielzahl Interferenz an Gläsern
in Reflexion $F \approx 2-3$

Experiment 2 : Vielzahl Interferenz in sog.
Fabri-Pérot Interferenz in
Transmissions mit hoher Finesse

und Streuung



Deviations

Natrium Dampfleitung
Doppeltröhre

$\approx 588,99 \text{ nm}$

$\approx 589,59 \text{ nm}$

$\Delta \lambda = 0.6 \text{ nm}$